

## 我国某金伯利岩管中混型金刚石的 紫外形貌和光谱特征

范良明 杨永富 闻格

(成都地质学院)

众所周知，金刚石按含氮量分成Ⅰ型和Ⅱ型。Ⅰ型含氮高，氮浓度大于0.01%；Ⅱ型一般不含氮，氮浓度小于0.001%。Ⅰ型中，含顺磁氮的称为Ⅰb型，其余为Ⅰa型。根据红外吸收光谱中7—10微米范围内各吸收峰的出现情况及强度差别，Ⅰa型又

分为ⅠaA型和ⅠaB型。Ⅱ型中具有半导体性能的称为Ⅱb型，其余为Ⅱa型<sup>[1,2,3,4]</sup>。1973年，S.托兰斯基(Tolansky)发表了采用紫外照相法在南非普雷米尔(Premier)等三个矿区中发现了混型金刚石的论文<sup>[5]</sup>。所谓混型金刚石，指的是同一颗金刚石晶体

内，氮的分布不均匀，既有含氮高的I型区域，又有几乎不含氮的II型区域。在研究我国某地金伯利岩岩管中的金刚石过程中，我们也发现有混型金刚石存在，由于具有重要地质意义，因此进行了较详细的光谱特征研究，现将结果报导如下。

所研究的混型金刚石产于斑状金伯利岩中，主要造岩矿物为橄榄石、金云母，其次为富铬镁铝榴石，重要副矿物有镁质富铁铬铁矿、铬尖晶石、磁铁矿、磷灰石、碳硅石、锐钛矿等。金伯利岩中的金刚石以无色、微黄色为主，粒径大于1毫米的颗粒占总重量的1/3，晶形以阶状八面体、菱形十二面体为主，其次为平面八面体、八面体与十二面体聚形晶、立方体等。约有28%的晶体含有包体，包体矿物以石墨居多，占99%，此外，有镁铝榴石、橄榄石、铬尖晶石、金刚石等。对采自金伯利岩岩管近地表的100粒金刚石进行了I、II型鉴定，结果为I型92颗，混型6颗，II型2颗。各型金刚石所占比例，与S.托兰斯基研究的南非迪比尔斯(De Beers)、芬什(Finsch)两矿区各型金刚石的比例十分接近<sup>(1)</sup>。显然，该金伯利岩管中混型金刚石的含量比II型高，但远比I型低。

## 一、紫外形貌特征

岩管中的混型金刚石均为无色透明，晶粒普遍细小，多数小于1毫米，大于1毫米的很少。晶形均为八面体，其中呈薄板状的扁八面体较多，约占60%，正八面体仅占40%。晶面平直，晶棱尖锐，说明形成之后，没有遭受过明显的熔蚀。

紫外形貌照相是发现混型金刚石的重要手段。采用氘灯作光源，在石英物镜的显微镜上，以峰值为2370 Å的紫外光透过金刚石晶体进行照相。试验表明，厚度大于0.2毫米(更薄的未试验)的I型金刚石晶体，在该紫外光下不透明；而厚度达2毫米(更厚的未试验)的II型晶体，在相同条件下却十分透明。因此，除部分TaB型外，采用现有的紫外透过形貌照相法，可以准确、快速区分I型和II型金刚石晶体，并能发现混型晶体。对所研究岩管中采得的100粒金刚石进行紫外透过形貌照相的结果，发现了六粒混型金刚石，与紫外谱图、红外谱图的鉴定结果完全一致。六粒混型金刚石，根据紫外形貌特征，可分成三种类型，分别以75#、78#、82#三粒金刚石为代表，如照片1、2、3所示。各照片a为透可见光实体像，边缘黑色轮廓是晶体四周与入射光斜交的晶面反射了入射光引起的，晶体中

心的黑线(照片1、2)是大晶面上的生长纹。各照片b为晶体的紫外透过形貌像。从b上可以看出，各粒混型金刚石内部，均存在不透紫外光(峰值2370 Å，下同)的黑色部分，其平面形态有靠近中心的三角形状(照片1-b)、靠边缘的不规则椭圆状(照片3-b)和三角形状(照片2-b)，显然是晶粒中含氮高的I型区域。紧靠黑色部分的白色部分为透紫外光区域，显然为几乎不含氮的II型区域。I型和II型两区域之间的接触界限多数比较清晰，只在II型区域较宽的一边比较模糊，其间存在着宽度为0.1—0.2毫米的灰色过渡区。不同的混型金刚石颗粒中，I型和II型的比例有所差别，按分布面积计，I型比II型，介于1:3到1:5之间。很明显，所研究岩管中的混型金刚石晶体，实际上大部分是对紫外光透明的II型，仅在晶体内的局部区域含有对紫外光不透明的I型。

## 二、紫外吸收谱

在UV-190型双光束分光光度计上，采用波长范围为2000 Å—4000 Å，分别对混型金刚石紫外形貌上的黑区、白区及黑区加白区作了紫外谱图，如图1、2、3所示。可以看出，各晶体中黑区的紫外吸收边(各图中的a曲线)在2916 Å—2970 Å之间(以半波计)，平均为2944 Å(以六个样品计)，显然是Ia型金刚石的紫外吸收谱特征。各晶体中白区的紫外吸收谱，均在2230 Å开始透过(各图中的b曲线)，并在2260 Å附近出现陡峻的禁带吸收边，相应的禁带宽度约5.51ev，无疑是II型金刚石的紫

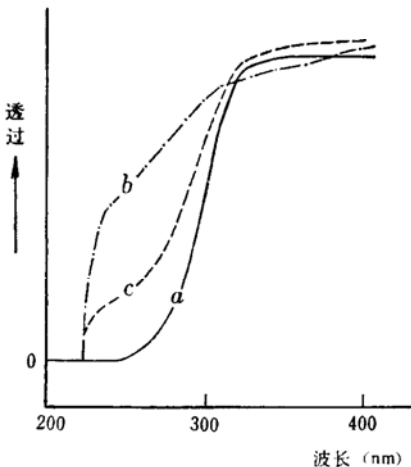


图1. 75#混型金刚石的紫外谱图

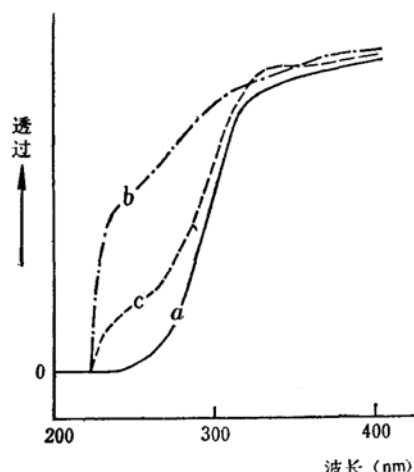


图 2. 78#混型金刚石的紫外谱图

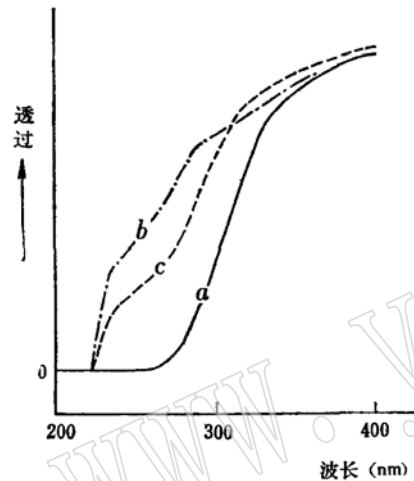


图 3. 82#混型金刚石的紫外谱图

说明：各紫外谱图中，  
a—紫外形貌像上，黑区的紫外谱图；  
b—紫外形貌像上，白区的紫外谱图；  
c—紫外形貌像上，黑区加白区的综合紫外谱图。

外吸收谱特征。同时，包括每个晶体中黑区和白区在内的紫外谱图（各图中的c曲线），很明显，是一种合成的综合谱图，兼具I型和II型的谱图特征，即既具有I型的吸收边，又具有II型的吸收边，据此，使我们有可能根据紫外吸收谱的形态来判定金刚石晶体是否为混型。

紫外吸收谱图的研究表明，混型金刚石的I型部分，其紫外吸收边均小于3000 Å，由此说明其中氮的浓度比标准的I型金刚石要小。该岩管中的单纯I型金刚石晶体，其吸收边多在3000 Å—3200 Å范围内。

### 三、红外吸收谱

金刚石晶格中碳原子的热振动，使3—6微米区域内出现红外吸收，表现在红外谱图上为 $2030\text{cm}^{-1}$ ， $2160\text{cm}^{-1}$ ， $2350\text{cm}^{-1}$ 等处的本征吸收峰，并为各型金刚石所共有<sup>[3,4]</sup>。由于金刚石晶格中杂质氮的进入，则在7—10微米区域内出现红外吸收，表现在红外谱上为 $1430\text{cm}^{-1}$ — $1000\text{cm}^{-1}$ 之间的附加吸收峰或称杂质峰，并为I型金刚石所特有。II型金刚石基本上没有杂质峰出现。杂质峰中以 $1282\text{cm}^{-1}$ 为主峰的吸收为双原子氮（A氮）的特征吸收，而 $1175\text{cm}^{-1}$ 和 $1370\text{cm}^{-1}$ 为主峰的吸收分别为集合体氮和小片氮（B氮）的特征吸收，它们的吸收系数与天然金刚石中的总含氮量成比例<sup>[3,4,6]</sup>。

在PE—683型双光束红外分光光度计上，采用聚光体系对混型金刚石晶体进行了分区遮挡红外吸收谱测定，结果见图4,5,6。测定结果表明，紫外

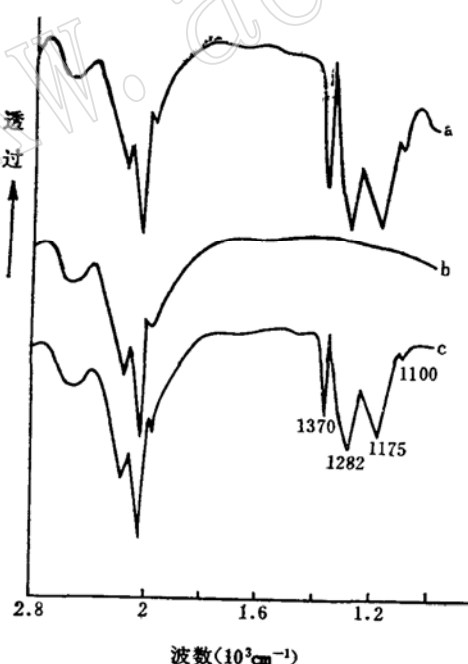


图 4. 75#混型金刚石的红外光谱

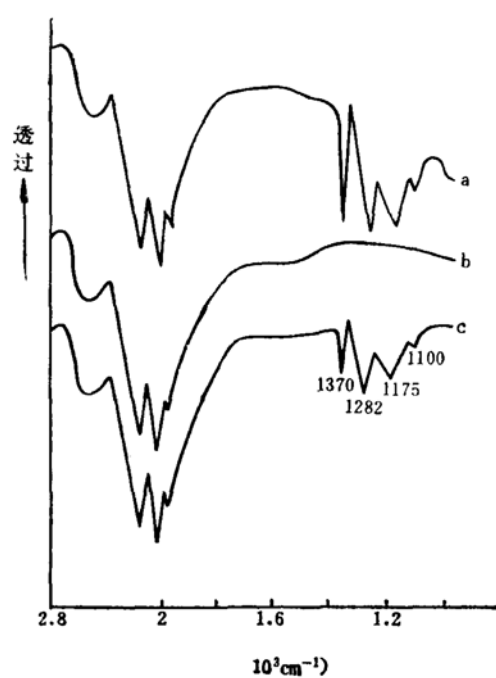


图 5. 78#混型金刚石的红外光谱

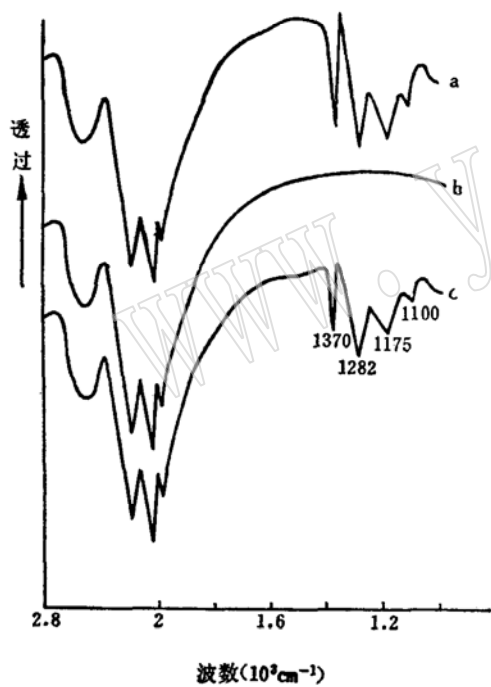


图 6. 82#混型金刚石的红外光谱

说明：各红外谱图中，  
a—紫外形貌像上黑区的红外谱图；  
b—紫外形貌像上白区的红外谱图；  
c—紫外形貌像上黑区加白区的红外谱图。

形貌像上黑区的红外吸收曲线（各图中的a曲线），均有氮杂质引起的附加峰，其中 $1175\text{cm}^{-1}$ ， $1282\text{cm}^{-1}$ 和 $1370\text{cm}^{-1}$ 等处吸收强， $1100\text{cm}^{-1}$ 处的吸收弱，表明为A氮和B氮都同时存在的Ia型区域，但由于 $1282\text{cm}^{-1}$ 处吸收最强，故应定为以A氮为主的IaA型区域。不同的混型晶体，杂质峰的吸收强度有所差别，其中黑区面积较大的75#晶体，杂质吸收峰较强，黑区面积较小的82#和78#晶体，杂质吸收峰较弱。紫外形貌像上白区的红外吸收曲线（各图上的b曲线）表明，在7—10微米范围内，几乎无氮质引起的吸收峰，为II型金刚石的红外谱特征。各图上的c曲线为同时包括黑区、白区在内的综合红外谱图，可以看出，在7—10微米范围内各相应位置的吸收峰强度，介于同一晶体上的a、b两曲线之间。

#### 四、论讨

采用紫外形貌照相技术，并通过紫外谱和红外谱进一步验证，首次证实了我国某金伯利岩管中混型金刚石的存在。后来，又在另外两个地区的近10个金伯利岩岩管和岩脉中发现了混型金刚石，并在金刚石中占有相当的比例（占金刚石总颗粒数的5%至22%），这是值得引起注意的。我们认为，在进行金刚石的分类和研究时，有必要将混型金刚石单独列为一类。在金刚石晶体的技术应用中分清混型更是有益的。

虽然紫外谱和红外谱是研究金刚石的重要手段，然而对于混型金刚石而言，谱图仅仅反映出I型和II型的综合特征，无法准确地鉴别混型金刚石，更无法搞清楚混型金刚石中I型和II型的空间分布关系。因此，在金刚石的紫外谱和红外谱研究中，必须引入紫外形貌照相技术，才能使研究工作深入一步。

混型金刚石的红外谱上，杂质附加峰往往呈中等强度，既不是I型、更不是II型的红外谱特征，过去对这类金刚石的类型鉴定十分难办。同一粒金刚石，当聚焦在晶体边缘区域测量时，具II型红外谱特征；当入射光对准中心区域测量时，却具有I型红外谱特征。这样，同一粒金刚石就出现定型差异。紫外形貌照相澄清了这一问题，证明了这种金

刚石颗粒是既有I型区域，又有II型区域的混型金刚石，而不是单独的I型或II型金刚石。

型混型金刚石的紫外谱上，往往出现明显的由I型和II型吸收边组成的双吸收边（图1,2,3中的c），过去我们就曾疑为混型金刚石，经上述几种方法配合研究得到证实后，这种紫外谱上的双吸收边，也可作为鉴别混型金刚石的一种依据。

就我们测量的混型金刚石而言，其中I型区域是以IaA型为主的，它的紫外吸收的波长较长，在2900—3000 Å就开始吸收，因而在2370 Å峰值的紫外光透射下，易于与2230 Å左右才开始吸收的II型相区别，在紫外形貌像上I型和II型区域黑白分明，容易辨别。但由于IaB型金刚石吸收边的波长较IaA型短，更为靠近II型金刚石的吸收边，因而上述紫外光对由IaB型和II型组成的混型金刚石分辨力差，用相同的紫外形貌照相法观察到的IaB区域仅为界限不清的灰影。可以设想，用单色器得到适当波长的单色光照射是可以达到好的效果的。

由于仅仅是用未加工的天然金刚石晶体观察混型现象，故能发现的都是Ia型心，II型边，即II型包裹Ia型为特征的混型金刚石。即使有I型包裹II型的金刚石出现，由于晶体外部被不透短波紫外光的I型覆盖，在紫外形貌像上也无法观察到混型现象，紫外谱和红外谱也无能为力。因此，用通过晶体中心的金刚石切片作研究是十分必要的。这样不但能观察II型包裹I型，亦能揭示I型包裹II型，甚至I型和II型的多套层结构的发现也不是不可能的。

总之，深入研究混型金刚石问题，不但有益于金刚石的鉴定和分型，也一定会在晶体生长和成因上提供重要信息。

滨海金刚石公司提供了研究的金刚石样品，研究工作中得到辽宁地矿局第六地质大队的大力协助、支持，特此致谢。

## 参 考 文 献

- 〔1〕 郭九皋等，1882，矿物物理和矿物材料论文集，科学出版社，第47—52页。
- 〔2〕 朱和宝等，1982，我国某地金伯利岩中高比率II型金刚石的发现及其地质意义，矿物学报，第4期，第283—289页。
- 〔3〕 Davies, G., 1980, Industrial Diamond Review, pp. 466—469.
- 〔4〕 Davies, G., 1977, Chem., Phys. Carbon, Vol. 13, pp. 1—143.
- 〔5〕 Tolansky, S., 1973, Diamond Research, pp. 28—31.
- 〔6〕 Ю. Л. 奥尔洛夫著，黄朝恩等译，1977，金刚石矿物学，中国建筑工业出版社，第89—100页。

### 图版说明：

照片1 75#混型金刚石（粒度 $1 \times 0.8 \times 0.3$  mm）

照片2 78#混型金刚石（粒度 $1 \times 1 \times 0.6$  mm）

照片3 82#混型金刚石（粒度 $1 \times 1 \times 0.8$  mm）

照片说明：a—可见光透光像，b—紫外形貌像。

## Ultra-Violet Photographs and Spectral Characteristics of Mixed Type Diamonds in a Kimberlite Tube in China

Fan Liangming, Yang Yongfu, Wen Lu

### Abstract

Mixed type diamonds occur in porphyritic Kimberlite tube in China. It amounts to 6% of the total diamonds yield. Mixed type crystal of diamond is composed mainly of type II molecules and a less amount (about third to fifth of the crystal) of type I molecules. The crystals are colorless, transparent and small octahedra (most size $<1$  mm). On the ultra-violet transparent ph-

tographs, within the crystal, shows small black area of opacities, and outside of this area shows white area transparent under emissive ultra-violet light (wavelength 2370 Å). On the ultra-violet spectrogram, absorption edge of the black area is between 2916 Å — 2970 Å, but the white area transmits ultra-violet light beginning at 2230 Å, Its representing forbidden band width is 5.51 ev. On the infrared spectrogram, the black area shows strong absorption at 1175, 1282, 1370  $\text{cm}^{-1}$  and weak absorption at 1100  $\text{cm}^{-1}$  that they were lead by rich bi-nitrogen and poly-nitrogen; But the white area have no absorption peak leading by impurities of nitrogen. Therefore, in a mixed type diamond, local small black area marks type I, and vast white area indicates type II.

